

# Drugi domaći zadatak iz predmeta 13E053SSE Stohastički sistemi i estimacija

Aleksa Janjić 2019/0021

Januar 2022.

A 237366

Образац бр. 1

ИНДКС 1502001773622



Алекса Јанјић  
(име и презиме - латиничним словима)

*Aleksa Janjic*  
(оверирани потпис студента)

\* Врста студија: основне академске, основне струковне, специјалистичке струковне студије, интегрисане основне и мастер академске, мастер академске, мастер струковне, специјалистичке академске, докторске академске.

\*\* Степен студија: први, други, трећи.

A 237366

РЕПУБЛИКА СРБИЈА

Универзитет у Београду  
(назив и седиште самосталне високошколске установе)

Електротехнички факултет  
(назив и седиште високошколске установе)

Број индекса 0021 / 2019  
(број) (година уписа)

ОС

СТУДЕНТСКА КЊИЖИЦА  
ИНДЕКС

Алекса Јанјић  
(име и презиме)

Рође 15.02.2001.  
(име једног родитеља) (датум рођења)

Лозница Лозница  
(место рођења) (општина рођења)

Република Србија Републике Србије  
(држава рођења) (држављанство)

уписан-а је школске 2019 / 2020. године на  
основне академске први  
(врста студија) (степен студија)\*\*

електротехника и рачунарство  
(назив студијског програма)

240/4 године  
(укупно трајање у ЕСПБ и време трајања студијског програма)

Потписано лице  
(датум уписа)

# 1 Zadatak 1

a) U zadatku je dato  $N$  opservacija oblika  $x[n] = \theta + w[n]$  zašumljenih belim Gumbelovim šumom koji je opisan izrazom:

$$p(w[n]) = e^{-w[n] - e^{-w[n]}}.$$

Koristeći date izraze, možemo odrediti i model zašumljenog merenja u zavisnosti od nepoznatog parametra  $\theta$ :

$$w[n] = x[n] - \theta;$$

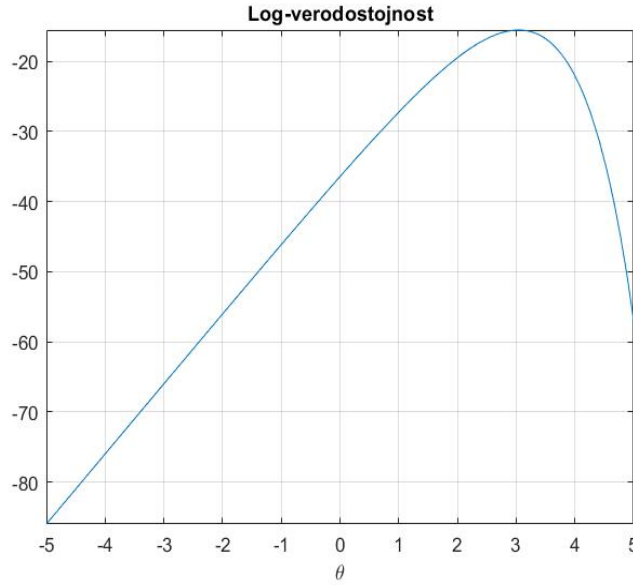
$$p(x[n]; \theta) = p(w[n]) = e^{-(x[n] - \theta) - e^{-(x[n] - \theta)}}.$$

Nakon logaritmovanja dobijenog modela, dobijamo funkciju log-verodostojnosti jednog zašumljenog merenja:

$$\ln\{p(x[n]; \theta)\} = -(x[n] - \theta) - e^{-(x[n] - \theta)}.$$

Pošto su merenja nezavisna, dobijamo konačnu funkciju log-verodostojnosti:

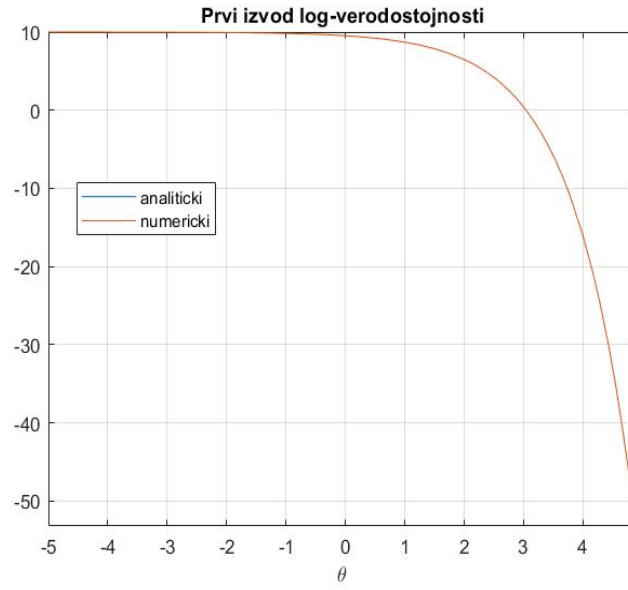
$$\ln\{p(\mathbf{x}; \theta)\} = \sum_{n=0}^{N-1} \ln\{p(x[n]; \theta)\} = - \sum_{n=0}^{N-1} (x[n] - \theta) - \sum_{n=0}^{N-1} e^{-(x[n] - \theta)}.$$



Slika 1: Funkcija log-verodostojnosti prvog eksperimenta

Prvi izvod funkcije log-verodostojnosti je jednostavno tada odrediti:

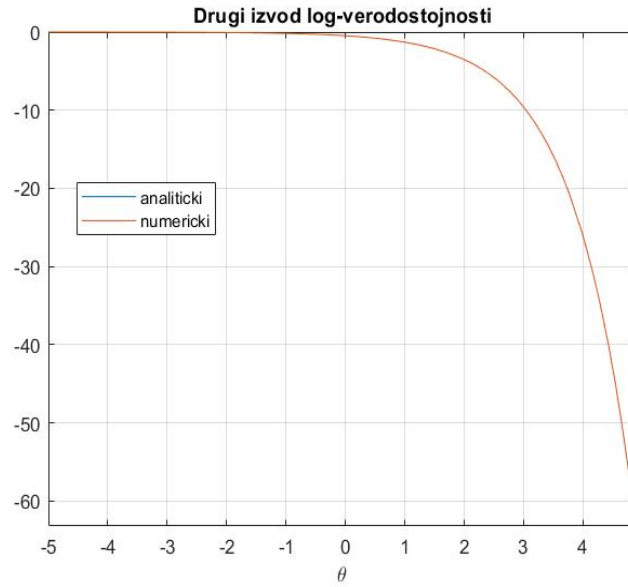
$$\frac{\partial \ln\{p(\mathbf{x}; \theta)\}}{\partial \theta} = - \sum_{n=0}^{N-1} (-1) - \sum_{n=0}^{N-1} e^{-(x[n] - \theta)} (-1)(-1) = N - \sum_{n=0}^{N-1} e^{-(x[n] - \theta)}.$$



Slika 2: Prvi izvod funkcije log-verodostojnosti prvog eksperimenta- analitički i numerički

Drugi izvod funkcije log-verodostojnosti izračunavamo kao:

$$\frac{\partial^2 \ln\{p(\mathbf{x}; \theta)\}}{\partial \theta^2} = - \sum_{n=0}^{N-1} e^{-(x[n]-\theta)}.$$



Slika 3: Drugi izvod funkcije log-verodostojnosti prvog eksperimenta- analitički i numerički

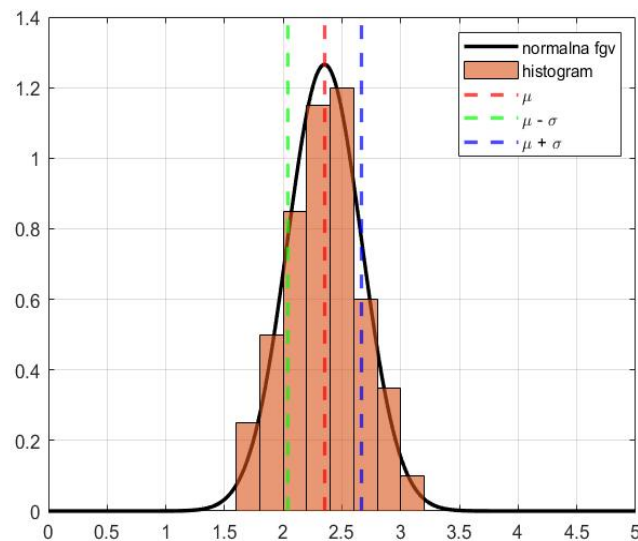
b)

```

1 function return_val = Newton_method(start , df , d2f , tol , max_it)
2
3 pom = start;
4 for i = 1:max_it
5     new_pom = pom - double(subs(df,pom))/double(subs(d2f,pom));
6     if (abs(new_pom - pom) <= tol)
7         return_val = new_pom;
8         break;
9     else
10         pom = new_pom;
11         return_val = new_pom;
12     end
13 end
14
15 end

```

c) U nastavku je prikazan grafik na kom se nalazi histogram konačnih estimacija za svih  $N_r = 100$  realizacija eksperimenta, zajedno sa srednjom vrednošću estimacija i  $\sigma$  intervalu, kao i normalne funkcije gustine verovatnoće sa određenom srednjom vrednošću estimacija  $\mu$  i varijansom  $\sigma$ .



```

1 clear
2 close all
3 clc
4 %% a
5 load('dom2_zad1.csv');
6 opservations_pom = dom2_zad1;
7 x = opservations_pom(1,:); %prvi eksperiment
8
9 Nr = 100;
10 N = 10;
11
12 syms theta
13 logp = - sum(x-theta) - sum(exp(-(x-theta))); %log verodostojnost
14 dlogp_analiticki = N - sum(exp(-(x-theta))); % prvi izvod analiticki
15 dlogp_numericki = diff(logp,theta); % prvi izvod numericki
16 d2logp_analiticki = - sum(exp(-(x-theta))); % drugi izvod analiticki
17 d2logp_numericki = diff(dlogp_numericki,theta); % drugi izvod numericki

```

```

18
19 figure(1)
20 fplot(logp);
21 title('Log-verodostojnost '); xlabel('\theta ');
22 grid on
23 figure(2)
24 fplot(dlogp_analiticki);
25 hold all;
26 fplot(dlogp_numericki);
27 title('Prvi izvod log-verodostojnosti '); xlabel('\theta ');
28 grid on;
29 legend('analiticki','numericki','Location','Best');
30 figure(3)
31 fplot(d2logp_analiticki);
32 hold on;
33 fplot(d2logp_numericki);
34 title('Drugi izvod log-verodostojnosti '); xlabel('\theta ');
35 grid on;
36 legend('analiticki','numericki','Location','Best');
37
38 %% c
39 estimations = zeros(1,100);
40
41 for i = 1:Nr
42     x = opservations_pom(i,:);
43     logp = - sum(x-theta) - sum(exp(-(x-theta)));
44     dlogp = N - sum(exp(-(x-theta)));
45     d2logp = - sum(exp(-(x-theta)));
46
47     estimations(i) = Newton_method(2,dlogp,d2logp,10^(-3),20);
48 end
49
50 mi_est = mean(estimations);
51 sigma_est = sqrt(var(estimations));
52 xosa=0:0.01:5;
53 y = normpdf(xosa,mi_est,sigma_est);
54
55 figure(4)
56 plot(xosa,y,'k-','LineWidth',2);
57 hold all;
58 histogram(estimations,'Normalization','pdf');
59 xline(mi_est,'r--','LineWidth',2)
60 xline(mi_est - sigma_est,'g--','LineWidth',2)
61 xline(mi_est + sigma_est,'b--','LineWidth',2)
62 grid on;
63 legend('normalna fgv','histogram','\mu','\mu - \sigma','\mu + \sigma');

```

## 2 Zadatak 2

Model stanja je dat u obliku:

$$\underbrace{\begin{bmatrix} p[t+1] \\ v[t+1] \\ \tilde{a}[t+1] \end{bmatrix}}_{S[t+1]} = \underbrace{\begin{bmatrix} 1 & T & \frac{T^2}{2} \\ 0 & 1 & \frac{T}{1} \\ 0 & 0 & 1 \end{bmatrix}}_A \underbrace{\begin{bmatrix} p[t] \\ v[t] \\ \tilde{a}[t] \end{bmatrix}}_{S[t]} + \underbrace{\begin{bmatrix} \frac{T^2}{2} \\ \frac{T}{1} \\ 0 \end{bmatrix}}_B \mu_a[t] + \underbrace{\begin{bmatrix} 0 \\ 0 \\ 1 \end{bmatrix}}_U u[t] \quad (1)$$

Jednačina merenja je data u matičnom obliku:

$$x[t] = \underbrace{\begin{bmatrix} 1 & 0 & 0 \end{bmatrix}}_H \underbrace{\begin{bmatrix} p[t] \\ v[t] \\ \tilde{a}[t] \end{bmatrix}}_{S[t]} + \underbrace{\begin{bmatrix} 1 \\ 0 \\ 0 \end{bmatrix}}_W w[t] \quad (2)$$

Kovarijaciona matrica modela  $Q$  definisana je narednim izrazom:

$$Q = E\{U \times U^T\} = \begin{bmatrix} 0 & 0 & 0 \\ 0 & 0 & 0 \\ 0 & 0 & 1 \end{bmatrix} \sigma_a^2 \quad (3)$$

Kasnije u zadatku, u različitim vremenskim trenucima,  $\sigma_a^2$  će imati različite vrednosti, kao što je u tekstu zadatka navedeno.

Varijansa šuma merenja je definisana narednim izrazom:

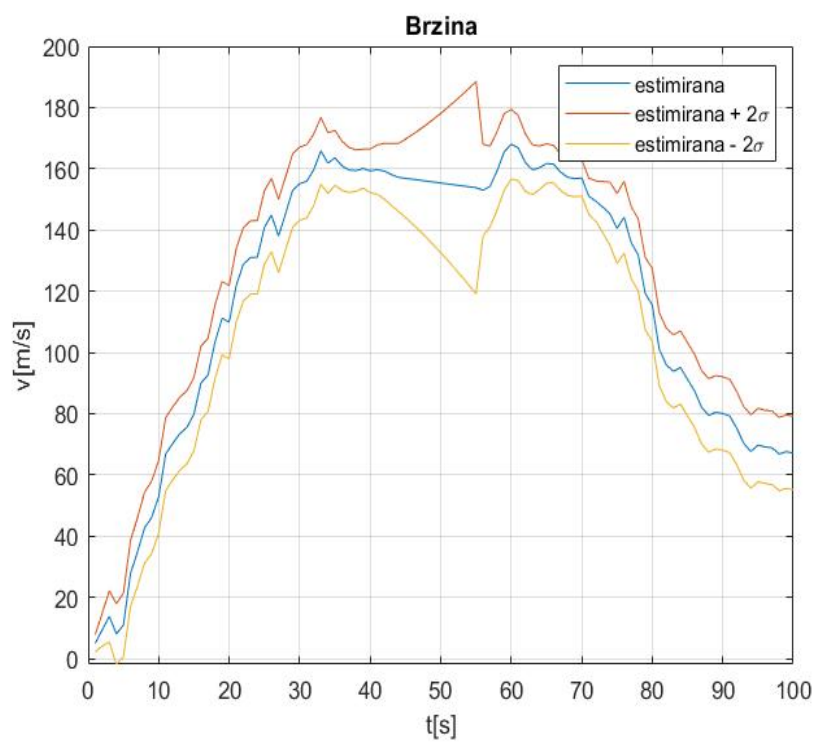
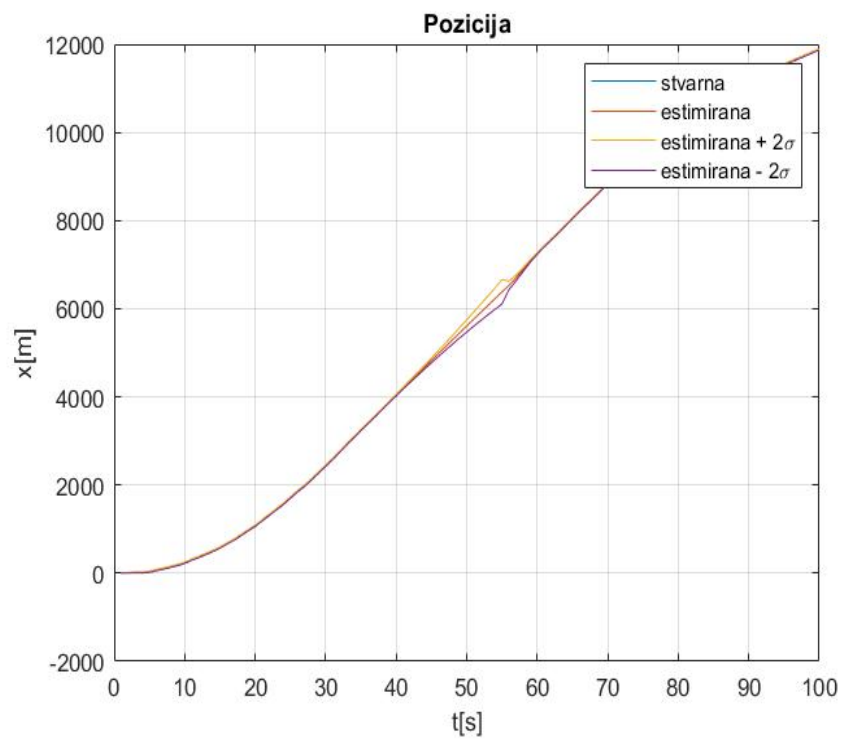
$$C = E\{W \times W^T\} = \begin{bmatrix} 1 & 0 & 0 \\ 0 & 0 & 0 \\ 0 & 0 & 0 \end{bmatrix} \sigma_u^2 \quad (4)$$

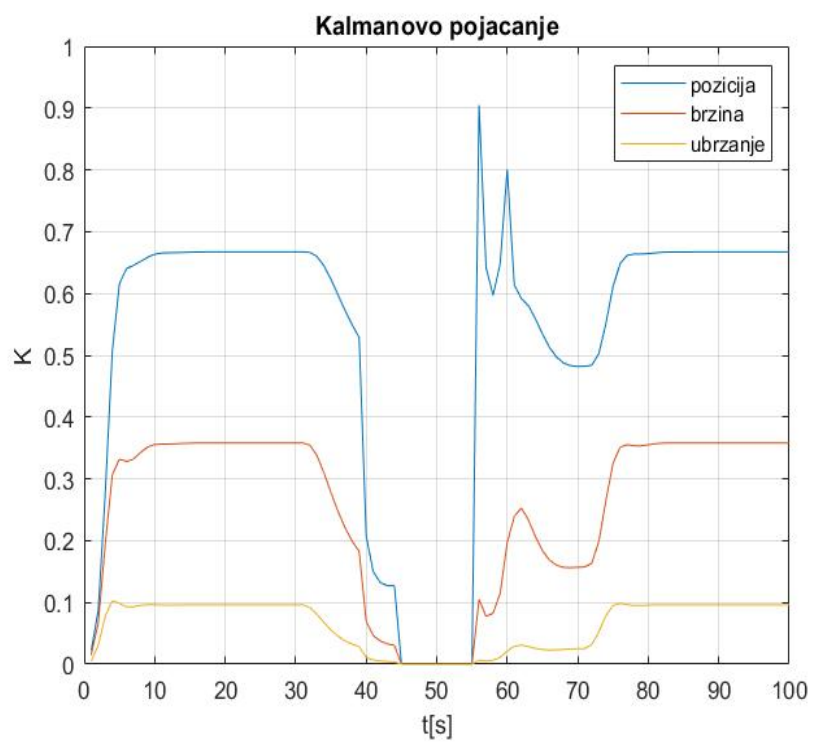
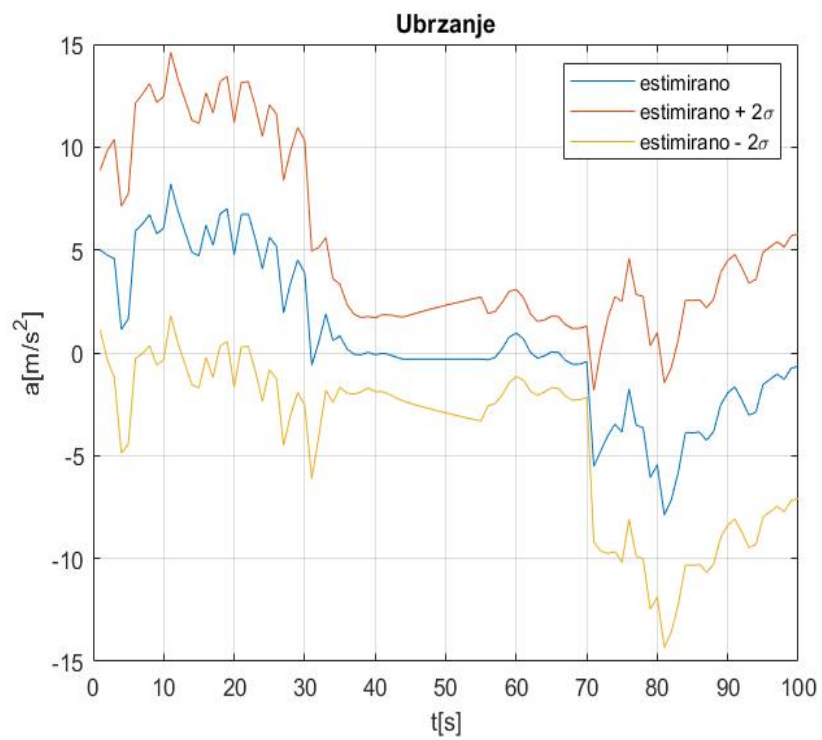
Slično kao i za  $\sigma_a^2$ , tako će i  $\sigma_u^2$  u različitim vremenskim trenucima imati različite vrednosti, kao što je navedeno u tekstu zadatka.

Za početne uslove uzet je vektor  $\mathbf{s\_est}$  sa vrednostima  $[0]_{3 \times 1}$  sa početnom kovarijacionom matricom estimacije greške  $\mathbf{M\_est}$  koja je jednaka jediničnoj dijagonalnoj matrici reda 3, pošto nismo u potpunosti sigurni u početne uslove.

Nakon svih definisanja i inicijalizacija, implementiran je algoritam Kalmanovog filtra koji iterativno određuje predikcije, a potom i koriguje estimacije stanja. Algoritam je dat narednim jednačinama:

$$\begin{aligned} \hat{s}[t|t-1] &= A\hat{s}[t-1|t-1] + B\mu_a[t] \\ M[t|t-1] &= AM[k-1|k-1]A^T + Q \\ K[t] &= M[t|t-1]H^T(HM[t-1|t-1]H^T + C)^{-1} \\ \hat{s}[t|t] &= \hat{s}[t|t-1] + K[t](y[t] - H\hat{s}[t|t-1]) \\ M[t|t] &= (I - K[t]H)M[t|t-1] \end{aligned}$$







```

1  clear all;
2  close all;
3  clc;
4
5  y = load("gnss_data.csv");
6
7  T = 1;
8  A = [1 T T^2/2; 0 1 T; 0 0 1];
9  B = [T^2/2; T; 0];
10 U = [0; 0; 1];
11 H = [1 0 0];
12
13 mi_a = [5*ones(1,30) 0*ones(1,40) -5*ones(1,30)];
14 sigma_a = [5*ones(1,30) 1*ones(1,40) 5*ones(1,30)];
15 var_a = (sigma_a/3).^2; %smatramo 99.7% sigurnost
16
17 Q = U*U'*var_a(1); %kovarijaciona matrica modela
18
19 sigma_u_poc = 10;
20 C = sigma_u_poc^2*ones(1,length(y)); %vektor varijanse suma merenja
21 for i=1:length(y)
22     if (i>=40) && (i<45)
23         sigma_u_poc = sigma_u_poc + 10;
24         C(i) = sigma_u_poc^2;
25     end
26     if (i>=45) && (i<=55)
27         C(i) = 10^12;
28     end
29     if (i>55) && (i<=60)
30         sigma_u_poc = sigma_u_poc - 10;
31         C(i) = sigma_u_poc^2;
32     end
33 end
34
35 %inicijalizacija i pocetna estimacija
36 s_est = [0; 0; 0];
37 M_est = eye(3); %prilicno smo sigurni da se krece iz nulte tacke,...
38             %sa nultom pocetnom brzinom i nultim odstupanjem
39             %ubrzanja
40
41 s_estimirano = zeros(3, length(y) + 1); %matrica vektora estimiranih stanja
42 M_estimirano = zeros(3, length(y) + 1); %matrica vektora kovarijansi greske estimacije
43 K_pojacanje = zeros(3,length(y)); %matrica vektora Kalmanovog pojacanja
44
45 s_estimirano(:,1) = s_est;
46 M_estimirano(:,1) = [M_est(1,1);M_est(2,2);M_est(3,3)];
47
48 for i = 1:length(y)
49     %predikcija
50     s_pred = A*s_est + B*mi_a(i);
51     M_pred = A*M_est*A' + U*U'*var_a(i);
52
53     %estimacija
54     if (i>=45) && (i<=55)
55         K = 0;
56         s_est = s_pred;
57         M_est = M_pred;
58     else

```

```

59         K = M_pred*H'*inv(H*M_pred*H' + C(i));
60         s_est = s_pred + K*(y(i) - H*s_pred);
61         M_est = (eye(3) - K*H)*M_pred;
62     end
63
64     K_pojacanje(:,i) = K;
65     s_estimirano(:, i+1) = s_est;
66     M_estimirano(:, i+1) = [M_est(1,1);M_est(2,2);M_est(3,3)];
67 end
68
69 M_2sigma = 2*sqrt(M_estimirano);
70 t = 1:100;
71
72 figure(1)
73 plot(t, y);
74 hold all;
75 plot(t, s_estimirano(1,2:end));
76 hold all;
77 plot(t, s_estimirano(1,2:end)+M_2sigma(1,2:end));
78 hold all;
79 plot(t, s_estimirano(1,2:end)-M_2sigma(1,2:end));
80 grid on;
81 xlabel('t[s]');
82 ylabel('x[m]');
83 title('Pozicija');
84 legend('stvarna','estimirana','estimirana + 2\sigma','estimirana - 2\sigma')
85
86 figure(2)
87 plot(t, s_estimirano(2,2:end))
88 hold all;
89 plot(t, s_estimirano(2,2:end)+M_2sigma(2,2:end));
90 hold all;
91 plot(t, s_estimirano(2,2:end)-M_2sigma(2,2:end));
92 grid on;
93 xlabel('t[s]');
94 ylabel('v[m/s]');
95 title('Brzina');
96 legend('estimirana','estimirana + 2\sigma','estimirana - 2\sigma')
97
98 figure(3)
99 plot(t, s_estimirano(3,2:end)+mi_a(1,:));
100 hold all;
101 plot(t, s_estimirano(3,2:end)+mi_a(1,:)+M_2sigma(3,2:end));
102 hold all;
103 plot(t, s_estimirano(3,2:end)+mi_a(1,:)-M_2sigma(3,2:end));
104 grid on;
105 xlabel('t[s]');
106 ylabel('a[m/s^2]');
107 title('Ubrzanje');
108 legend('estimirano','estimirano + 2\sigma','estimirano - 2\sigma')
109
110 figure(4)
111 plot(t, K_pojacanje(1,:));
112 hold all;
113 plot(t, K_pojacanje(2,:));
114 hold all;
115 plot(t, K_pojacanje(3,:));
116 grid on;

```

```
117 xlabel('t[s]');
118 ylabel('K');
119 title('Kalmanovo pojaćanje');
120 legend('pozicija ', 'brzina ', 'ubrzanje');
```